載荷速度の違いによる促進腐食 PC 鋼線の力学的性能と破断性能

神戸大学大学院 学生会員 ○古川 篤史 神戸大学大学院 正 会 員 森川 英典 神戸大学大学院 正 会 員 美濃 智広 神鋼鋼線工業(株) 河村 睦

1. 研究の目的

凍結防止剤使用環境下のポストテンション方式の PC 道路橋において 定着部付近などにグラウトの充填不良部があると隙間から水や塩化物 などの腐食促進物質が侵入し、写真-1のように腐食が発生、進展する 可能性がある. そして腐食劣化が進み、PC 鋼線に孔食が発生し、その 破断することが懸念されている. その際、鋼線束内の最も腐食が著し い PC 鋼線にて脆性破断が発生した場合、残りの PC 鋼線に負荷が動的 に作用することが考えられる. そこで、促進腐食させた PC 鋼線の引張 試験を、載荷速度を変化させて実施し、力学的性能について評価し



写真-1 既設 PC 道路橋の鋼線の腐食状況

た. さらに、走査型電子顕微鏡 (SEM) による破面観察を行い、破断原因について考察した.

2. 実験概要

本実験では、腐食が確認されている実橋内の PC 鋼線の状況により近づけるため、既往の研究 ¹⁾で行った促進腐食試 験により得られた PC 鋼線を, さらに 3%濃度の塩水に浸漬し 腐食させ、除錆しない状態で引張試験を行った、供試体長さは No.1~4, No.9~10, 健全, 高ひずみ速度の健全 1, 2 が 425mm, No.5~8 が 520mm である. 標点間距離をそれぞれ 325mm, 420mm として, 引張試験を行った.

実橋条件下では断面の減少による応力の増加は引張試験より もはるかに遅く進むため、それを実験室で再現することは困難 であるが、引張試験機の能力の中でできるだけ載荷速度を遅く した場合(0.005mm/min)から、PC 鋼線に動的に負荷が作用する ことを想定した場合(1mm/sec)まで、載荷速度を段階的に速め た実験を行った.表-1 に PC 鋼線別の引張試験の載荷速度を表 す. ここで、0.2%耐力+1mmというのは、0.2%耐力を過ぎてか ら試験変位 1mm 経過後を意味する. さらに, 実験後の PC 鋼 線の破断面について、SEM 観察にて破面解析を行った.

3. 実験結果および考察

載荷速度を変化させた引張試験の結果を表-2 に示す. 腐食 した鋼線との比較のために健全な PC 鋼線の引張試験も行っ た. 表-2 の最下段に、健全 PC 鋼線 3 本の低ひずみ速度引張試 験結果の平均値を示す. ここで質量減少率については、引張試 験後の試験体を破面解析に用いるために、除錆せずに質量測定 を行った. 健全 PC 鋼線 3 本の低ひずみ速度引張試験結果の平 均値に対する健全破断荷重残存率と質量減少率の関係を図-1

表-1 鋼線別載荷速度の分類

鋼線名	1∼25kN	25kNから	0.2%耐力 +1mmから		
No.1		0.005mm/min			
No.2		0.05mm/min	1mm/min		
No.3					
No.4	1mm/min				
No.5		0.6mm/min			
No.6					
No.7					
No.8	1mm/sec		-		
No.9	1mm/sec				
No.10					
高ひずみ健全1					
高ひずみ健全2					
健全	1mm/min	0.6mm/min	1mm/min		

表-2 載荷速度を変化させた引張試験結果

鋼線名	0.2%耐力	破断荷重	質量減少率	破断伸び
	(kN)	(kN)	(%)	低下率
No.1	49.90	57.10	8.92	43.5
No.2	54.29	61.61	4.25	31.9
No.3	51.33	58.08	9.47	34.8
No.4	47.23	51.95	13.83	58.0
No.5	40.80	44.62	-	59.5
No.6	42.57	46.61	20.78	52.9
No.7	50.78	52.83	-	57.1
No.8	ı	47.02	9.90	73.3
No.9	56.07	61.05	7.13	64.6
No.10	59.83	61.82	6.04	57.9
高ひずみ健全1	61.11	67.95	-	36.3
高ひずみ健全2	59.83	67.76	-	23.7
健全	59.20	67.93	_	_

キーワード PC 鋼線, 促進腐食, 引張試験, 脆性破断, 破面解析

連絡先 〒657 - 8501 兵庫県神戸市灘区六甲台町 1-1 TEL 078-803-6027 に示す. No.1~7,9,10 の試験結果については、質量減少率の増加と破断荷重残存率の低下は、線形の相関関係が確認できた. 一方、高ひずみ速度引張試験を行った No.8(質量減少率 9.90%)の試験結果については、他 PC 鋼線とは異なり脆性的に破断し、破断荷重残存率はより低下したことが確認できた. No.8 の亀裂は、局部腐食による孔食が基点となっていることから、応力集中の影響により脆性的な破断性状となったことが推察される.

破断伸び低下率と質量減少率の関係を図-2に示す。No.1~7の試験結果と比較してNo.8~10の試験結果は、破断伸び低下率がより増加する傾向が確認できた。また、健全PC鋼線についても、ひずみ速度を増加させると、破断伸びが低下する傾向が確認できた。

ここで、健全なPC鋼線(写真-2)についてSEMを用いた破面解析を行った。写真-2 (a)をみると中心から放射状に破壊が広がっていることが分かる。また写真-2 (b)をみると破断部分が典型的なカップアンドコーン型である。また写真-2 (c)の拡大写真 (d)をみると延性破面のディンプル破面であることが分かる。

次に載荷速度の速い (1mm/sec) PC 鋼線 No.8 の破面を写真-3 に示す. PC 鋼線は耐力に達する前に破断している. まず写真-3 (b)をみると健全時と比較してあまり絞りを生じずに破断していること

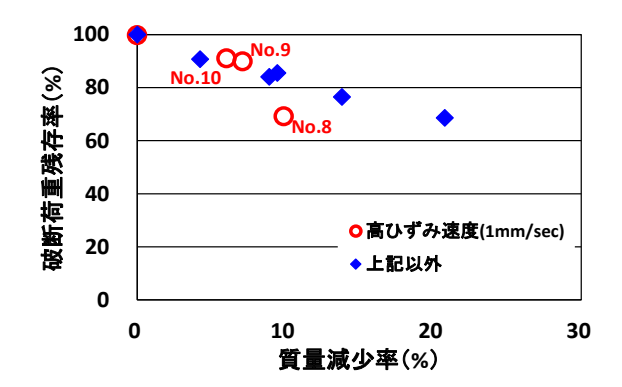


図-1 破断荷重残存率と質量減少率の関係

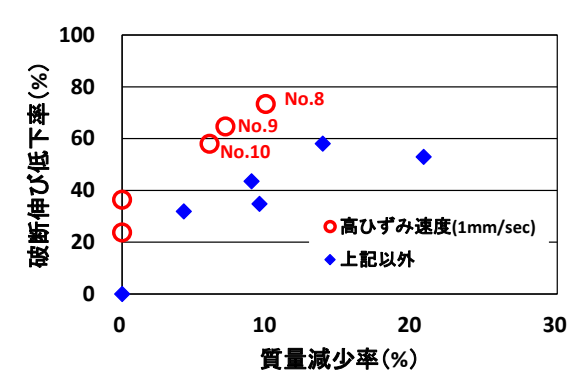


図-2 破断伸び低下率と質量減少率の関係

が分かる. また**写真-3**(c)をみるとこれも健全の時と異なり、中心から放射状に広がらずに端の部分から扇形に広がっている. その部分を拡大した**写真-3**(d)をみるとここに局部腐食による孔食が存在し、それにより応力集中を生じ破断の起点になったことが分かる.

4. まとめ

載荷速度を変化させた引張試験を行った. 載荷速度を通常の引張試験より速くした場合,局部腐食を有する PC 鋼線は局部腐食箇所を起点とした脆性破断を引き起こす可能性がある. また,腐食を有する PC 鋼線は,質量減少率の増加に伴い,破断荷重残存率が低下し,破断伸び低下率が増加する傾向が確認できるが,脆性破断を起こした場合,破断荷重残存率はさらに低下し,破断伸び低下率もさらに増加することが確認できた.

参考文献:1)白川,森川,福田,河村:局部腐食を考慮した PC 鋼線における応力腐食割れの破断性状に関する実験的検討, コンクリート工学年次論文集, vol.34,No.1,pp1054-1059,2012

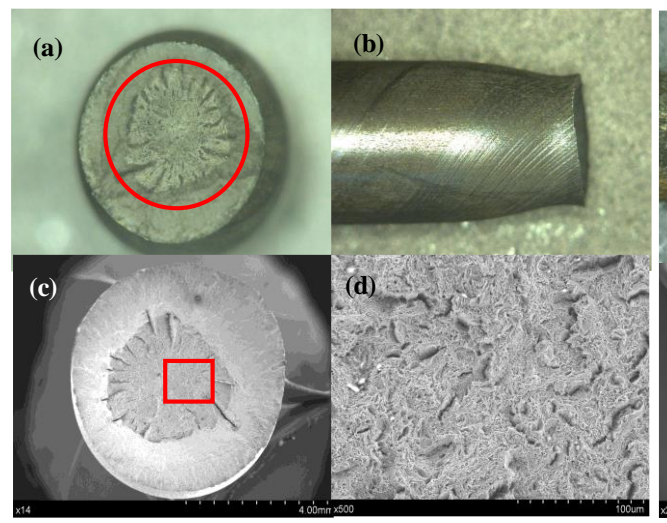


写真-2 健全な鋼線の破断面

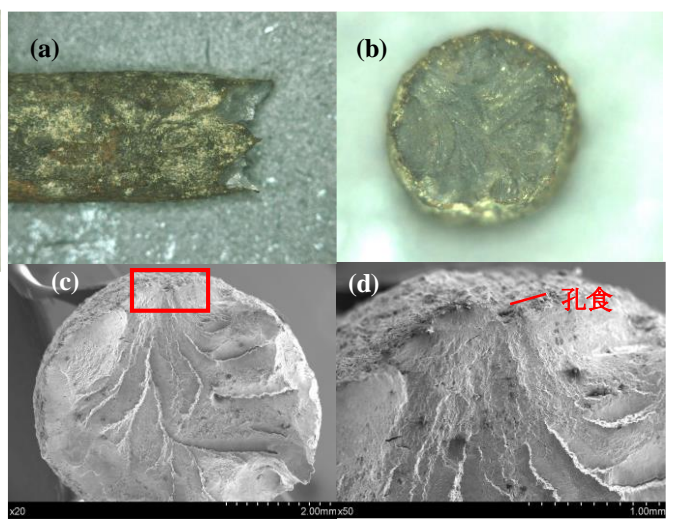


写真-3 載荷速度を速めた鋼線 No. 8 の破断面